

การศึกษาผลของการเปลี่ยนแปลงอุณหภูมิโดยฉับพลันต่อโอกาสการเจาะทะลุผ่านเนื้อฉ้นวนของลูกถ้วยแขวนปอร์ซเลน Class 52-3, 52-4 และ 52-8 เมื่อได้รับแรงดันอิมพัลส์หน้าคัลลีนชัน (A Study The Effects of Thermal-Shock on The Probationary Puncture of Suspension Type Porcelain Insulators Class 52-3, 52-4 and 52-8 by Applied Steep-Front of Wave Voltage)

สิทธิชาติ แวงสุวรรณ สราช โชคคำนำways นพรัตน์ สังข์ศรี และ ไชยพร หล่อทองคำ *
ภาควิชาวิศวกรรมไฟฟ้ากำลัง คณะวิศวกรรมศาสตร์ มหาวิทยาลัยเทคโนโลยีมหานคร
51 หมู่ 1 ถ.เชื่อมสัมพันธ์ หนองจอก กรุงเทพฯ โทร. 02-9883666 ต่อ 286 #305, โทรสาร 02-9884040, E-mail: chaiyapo@mut.ac.th

บทคัดย่อ

โครงการวิจัยนี้เป็นรายงานการศึกษาผลกระทบจากการเปลี่ยนแปลงอุณหภูมิโดยฉับพลันต่อโอกาสการเจาะทะลุผ่านเนื้อฉ้นวนลูกถ้วยแขวนปอร์ซเลน Type B แบบ 52-3, 52-4 และ 52-8 ที่มีแนวเจาะทะลุเนื้อฉ้นวนแข็งน้อยกว่าครึ่งหนึ่งของระยะเวลาไฟตามผิวอากาศ เมื่อได้รับแรงดันอิมพัลส์หน้าคัลลีนชัน ทดสอบเปรียบเทียบระหว่างตัวอย่างลูกถ้วยฉ้นวนทั้งกรณีที่ไม่ผ่านและกรณีที่ผ่านการทดสอบผลการเปลี่ยนแปลงอุณหภูมิโดยฉับพลันแบบมีจำนวนรอบการทดสอบที่แตกต่างกัน กระบวนการทดสอบอ้างอิงตาม มอก. 354-2523 และข้อแนะนำมาตรฐาน ANSI C29.2 (1992) หลังจากนั้นนำตัวอย่างลูกถ้วยฉ้นวนไปฝ่านการทดสอบเจาะทะลุผ่านเนื้อฉ้นวนด้วยการป้อนแรงดันอิมพัลส์หน้าคัลลีนชันที่ระดับความชันหน้าคัลลีนอิมพัลส์เริ่มต้นตั้งแต่ 2,500 kV/μs, 3,250 kV/μs, 4,000 kV/μs และ 4,750 kV/μs ตามลำดับ ผลการทดสอบแสดงให้เห็นว่าผลของการเปลี่ยนแปลงอุณหภูมิโดยฉับพลันมีผลทำให้เนื้อญูนซีเมนต์ที่ใช้เชื่อมยึดระหว่างเนื้อฉ้นวนปอร์ซเลนกับก้านโลหะของลูกถ้วยเกิดรอยร้าวและแตกออก ซึ่งมีผลทำให้ลูกถ้วยฉ้นวนมีโอกาสเกิดเจาะทะลุผ่านเนื้อฉ้นวนภายในครอปอิเลคโตรดได้ง่ายขึ้นเมื่อได้รับแรงดันอิมพัลส์หน้าคัลลีนชัน

คำสำคัญ : แรงดันอิมพัลส์หน้าคัลลีนชัน, ลูกถ้วยฉ้นวนแขวนปอร์ซเลน, การเจาะทะลุผ่านเนื้อฉ้นวน, การเปลี่ยนแปลงอุณหภูมิโดยฉับพลัน

Keywords : Steep-Front Impulse Voltage, Suspension Type Porcelain Insulators, Puncture, Thermal-Shock

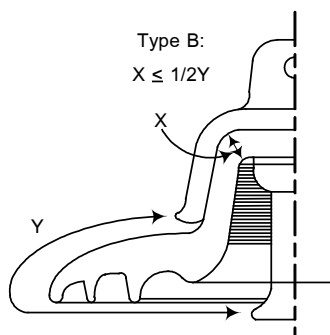
1. บทนำ

การฉ้นวนในระบบสายส่งจ่ายกำลังไฟฟ้าแรงสูงนิยมใช้ลูกถ้วยฉ้นวนแขวนปอร์ซเลนเป็นฉ้นวนกันและยึดโยงระหว่างสายตัวนำเปลือยกับโครงเหล็กส่วนแขวนของเสาส่ง ซึ่งลูกถ้วยฉ้นวนที่ใช้กันส่วนใหญ่จะเป็นลูกถ้วยฉ้นวนแขวน Type B ตามมาตรฐาน IEC [1] ดังรูปที่ 1 เนื่องจากลูกถ้วยดังกล่าวมีคุณสมบัติความยึดหยุ่นทางกลสูง เมื่อเกิดความเสียหายสามารถถอดเปลี่ยนเฉพาะลูกที่แตกได้ โดยไม่จำเป็นต้องเปลี่ยนใหม่ทั้งชุด (String) และจากรายงานการศึกษาพบว่าลูกถ้วยแขวนที่ติดตั้งใช้งานในระบบมักเกิดความเสียหายขึ้นจากผลพวงของฟ้าผ่าตามธรรมชาติที่เรียกว่า “แรงดันอิมพัลส์

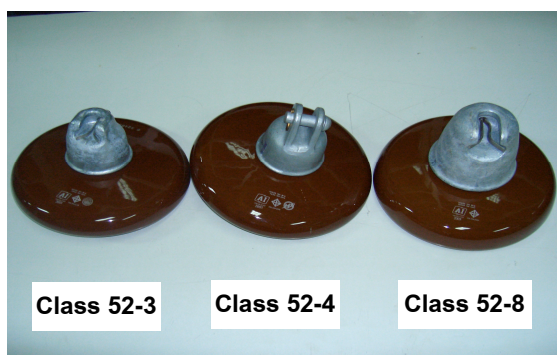
ฟ้าผ่า” ซึ่งสามารถทำให้ลูกถ้วยฉ้นวนแขวนเกิดเจาะทะลุผ่านเนื้อฉ้นวน (Puncture) หรือเกิดแตกเสียหายได้ยิ่งแรงดันอิมพัลส์มีความชันหน้าคัลลีน (Steepness) สูงเท่าใดยิ่งทำให้ลูกถ้วยมีโอกาสเจาะทะลุได้ง่ายขึ้นเท่านั้น ส่งผลกระทบต่อเสถียรภาพและความน่าเชื่อถือของระบบส่งจ่ายกำลังไฟฟ้า ปัจจุบันจึงมีการกำหนดวิธีการทดสอบขึ้น [2] เพื่อตรวจสอบคุณภาพของผลิตภัณฑ์ลูกถ้วยฉ้นวนก่อนนำไปติดตั้งใช้งานจริง ซึ่งบริษัทผู้ผลิตจะต้องพัฒนาคุณภาพของผลิตภัณฑ์ให้สามารถทนต่อแรงดันอิมพัลส์หน้าคัลลีนตามที่กำหนดได้ จากสมมติฐานเบื้องต้นคาดว่าผลของการเปลี่ยนแปลงอุณหภูมิ

จากสภาพภาวะร้อนและเย็นตามธรรมชาติที่เกิดจากสภาพการติดตั้งใช้งานจริงของลูกถ่ายน้ำจะเป็นปัจจัยหนึ่งที่ทำให้ความสามารถ抵抗ทนต่อแรงดันอิมพัลส์หน้าคลื่นชันของลูกถ่ายจำนวนแ/webnporcrชเลนลดลง เนื่องจากผลของสัมประสิทธิ์การขยายและหดตัวเชิงความร้อนขององค์ประกอบลูกถ่ายจำนวนที่มีค่าแตกต่างกัน และอาจเป็นสาเหตุเริ่มต้นทำให้เนื้อจวนปอร์ชเลนเกิดเสื่อมสภาพหรือเกิดรอยร้าว (Crack) ขึ้นภายใน ประกอบกับ เมื่อได้รับแรงดันอิมพัลส์หน้าคลื่นชันจากฟ้าผ่าจึงทำให้เจาะทะลุได้ง่ายกว่าปกติ

ดังนั้นโครงการนวัตกรรมนี้จึงสนใจศึกษาถึงผลกระทบจากการเปลี่ยนแปลงอุณหภูมิโดยจับพลันต่อโอกาสการเจาะทะลุเนื้อจวนของลูกถ่ายแ/webnporcrชเลนเมื่อได้รับแรงดันอิมพัลส์หน้าคลื่นชัน โดยเน้นการศึกษากรณีตัวอย่างผลิตภัณฑ์ลูกถ่ายจำนวนแ/webnporcrชเลนนิด 52-3, 52-4 และ 52-8 ดังแสดงในรูปที่ 2 ข้อมูลที่ได้รับจะเป็นประโยชน์ต่อการพัฒนาคุณภาพของผลิตภัณฑ์ เพื่อเพิ่มโอกาสในการแข่งขันเชิงธุรกิจของภาคอุตสาหกรรม



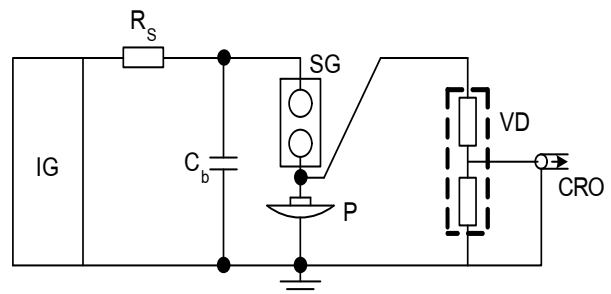
รูปที่ 1 ลักษณะลูกถ่ายจำนวน Type B



รูปที่ 2 ตัวอย่างลูกถ่ายจำนวนปอร์ชเลนที่ศึกษา

2. อุปกรณ์และวิธีการทดลอง

การสร้างแรงดันอิมพัลส์หน้าคลื่นชันใช้เทคนิคสปาร์กแกปดัดหน้าคลื่น (Chopped Wave) ของแรงดันอิมพัลส์ฟ้าผ่ามาตรฐาน 1.2/50 μs [3] ที่ได้จากเครื่องกำเนิดแรงดันอิมพัลสมารฐาน 400 kV, 14 kJ/4-Stage วงจรการทดสอบแสดงดังรูปที่ 3 และการเตรียมการทดสอบในห้องปฏิบัติการแสดงดังรูปที่ 4



รูปที่ 3 วงจรการทดสอบเจาะทะลุเนื้อจวน
ลูกถ่ายจำนวนปอร์ชเลน



รูปที่ 4 อุปกรณ์การทดสอบแรงดันอิมพัลส์
หน้าคลื่นชัน

2.1 อุปกรณ์ที่ใช้ในการทดลอง

อุปกรณ์ที่ใช้ในการทดลองศึกษาประกอบด้วยอุปกรณ์ต่างๆ ดังนี้

- 1) เครื่องกำเนิดแรงดันอิมพัลสมารฐาน (IG) 1.2/50 μs ขนาดพิกัด 400 kV, 14 kJ/4 Stage และตัวเก็บประจุโหลด (C_b) ขนาด 2,000 pF

- 2) สปาร์กแแกปตัคคลีน (SG) แบบทรงกลม มีเส้นผ่าศูนย์กลางขนาด 15 cm. ติดตั้งภายในห้องวนพิวีซี อัดด้วยก๊าซ N₂ ที่ความดัน 4 บาร์ ต่อกับลูกถ่ายวน (P) ที่ใช้ในการทดสอบ
- 3) อิมพัลส์โวลเตจดิไวเดอร์ (VD) แบบความต้านทานมีชีล์ด ขนาดพิกัด 400 kV
- 4) อุปกรณ์ใส่น้ำอุณหภูมิร้อนและอุปกรณ์ใส่น้ำอุณหภูมิเย็นใช้ประกอบการทดสอบ Thermal Shock และดังรูปที่ 5



ก) อุปกรณ์ใส่น้ำอุณหภูมิร้อน (96°C)



ข) อุปกรณ์ใส่น้ำอุณหภูมิเย็น (4°C)

รูปที่ 5 ชุดอุปกรณ์ประกอบการทดสอบ Thermal Shock

Thermal Shock

2.2 วิธีการทดลอง

การทดลองใช้ตัวอย่างลูกถ่ายวนชนิดละ 20 ลูก แบ่งใช้ในการทดลอง ดังนี้

2.2.1 นำตัวอย่างลูกถ่ายวน ชนิดละ 10 ลูก ทดสอบ การเจาะทะลุผ่านเนื้อวนลูกถ่ายด้วยแรงดันอิมพัลส์ หน้าคัลลีนชัน อ้างอิงมาตรฐาน [2] ด้วยการทดสอบขั้ว

บวก 10 ครั้ง แล้วตามด้วยขั้วลบ 10 ครั้ง ในลูกถ่ายวนลูกเดียวกัน ที่ระดับความชันหน้าคัลลีน 2,500 kV/ μs [4] เพื่อต้องการตรวจสอบสภาพเนื้อวนลูกถ่ายของแต่ละชนิด ผลการตรวจสอบที่ได้ในลักษณะการเจาะทะลุของลูกถ่ายแต่ละชนิด จะใช้พิจารณาเพื่อนำไปทำการทดสอบดังนี้

- ลูกถ่ายวนชนิดที่เกิดเจาะทะลุ จะทดสอบการเจาะทะลุผ่านเนื้อวนลูกถ่ายด้วยแรงดันอิมพัลส์หน้าคัลลีน โดยเพิ่มความชันเป็น 3,250 kV/ μs , 4,000 kV/ μs และ 4,750 kV/ μs ตามลำดับ เพื่อใช้เป็นข้อมูลการณ์ลูกถ่ายผ่านการทดสอบ Thermal Shock

- ลูกถ่ายวนชนิดที่ไม่เกิดเจาะทะลุ จะทดสอบการเปลี่ยนแปลงอุณหภูมิโดยฉับพลัน (Thermal Shock) อ้างอิงตามมาตรฐาน [5-6] ด้วยการนำลูกถ่ายไปจุ่มในน้ำร้อนที่อุณหภูมิประมาณ 96°C ($\pm 2^{\circ}\text{C}$) เป็นเวลา นาน 10 นาที และนำไปจุ่มในน้ำเย็นที่อุณหภูมิประมาณ 4°C ($\pm 2^{\circ}\text{C}$) เป็นเวลา นาน 10 นาที ทำสลับกันไประหว่างน้ำร้อนและน้ำเย็น ดังรูปที่ 5 จำนวน 20 รอบ (Cycle) หลังจากนั้นทดสอบการเจาะทะลุผ่านเนื้อวนลูกถ่ายด้วยแรงดันอิมพัลส์หน้าคัลลีนชันที่ความชันทั้ง 4 ความชัน ตามลำดับ รวม 4 ความชัน เพื่อใช้เป็นข้อมูลการณ์ลูกถ่ายผ่านการทดสอบ Thermal Shock จำนวน 20 Cycle

2.2.2 นำตัวอย่างลูกถ่ายวนชนิดละ 10 ลูก ทดสอบ Thermal Shock จำนวน 10 Cycle หลังจากนั้นทดสอบการเจาะทะลุผ่านเนื้อวนลูกถ่ายด้วยแรงดันอิมพัลส์หน้าคัลลีนชันที่ความชันทั้ง 4 ความชัน ตามลำดับ เพื่อใช้เป็นข้อมูลลูกถ่ายกรณ์ผ่านการทดสอบ Thermal Shock จำนวน 10 Cycle พิจารณาผลการทดลองที่ได้ในลักษณะของการเจาะทะลุลูกถ่ายแต่ละชนิด หากลูกถ่ายวนชนิดที่ไม่เกิดเจาะทะลุให้ทำการเพิ่มจำนวนการทดสอบ Thermal Shock อีก 20 Cycle หลังจากนั้นทดสอบการเจาะทะลุผ่านเนื้อวนลูกถ่ายด้วยแรงดันอิมพัลส์หน้าคัลลีนชันที่ระดับความชันทั้ง 4 ความชัน ตามลำดับ เพื่อใช้เป็นข้อมูลกรณ์ลูกถ่ายผ่านการทดสอบ Thermal Shock จำนวน 30 Cycle

3. ผลการทดลอง

เนื่องจากลูกถ่ายแต่ละชนิดมีความคงทนต่อการทดสอบ Thermal Shock และการทดสอบการเจาะทะลุผ่านเนื้อจวนด้วยแรงดันอิมพัลส์หน้าคัลลีนชันที่แตกต่างกัน จึงแบ่งผลการทดลองเป็นชนิดของลูกถ่ายจวนดังนี้

3.1 ลูกถ่ายแขวนปอร์ชเลน Class 52-3

จากการทดลองดังตารางที่ 1 พิจารณาลูกถ่ายกรณีไม่ผ่านการทดสอบ Thermal Shock มีลูกถ่ายเกิดเจาะทะลุจากการทดสอบด้วยแรงดันอิมพัลส์หน้าคัลลีนชันที่ความชัน 2,500 kV/μs จึงได้เพิ่มระดับความชันเป็น 3,250 kV/μs, 4,000 kV/μs และ 4,750 kV/μs ตามลำดับ ซึ่งผลการทดลองที่ได้สามารถใช้เป็นข้อมูลเปรียบเทียบกับผลการทดสอบการเจาะทะลุผ่านเนื้อจวนลูกถ่ายกรณีที่ผ่านการทดสอบ Thermal Shock จำนวน 10 Cycle ด้วยแรงดันอิมพัลส์หน้าคัลลีนชันทั้ง 4 ความชันตามลำดับ จะเห็นว่าลูกถ่ายกรณีที่ผ่านการทดสอบ Thermal Shock จำนวน 10 Cycle จะมีจำนวนการเกิดเจาะทะลุลูกถ่ายมากกว่าลูกถ่ายกรณีที่ไม่ผ่านการทดสอบ Thermal Shock ถึง 2 เท่า

ตารางที่ 1 แรงดันเฉลี่ยที่เกิดวาบไฟตามผิวและเจาะทะลุผ่านเนื้อจวนลูกถ่าย Class 52-3

Steepness (kV/μs)		Thermal Shock Test			
		Before		After (10 Cycle)	
		Pos (kV)	Neg (kV)	Pos (kV)	Neg (kV)
2,500	Flashover	225	-237	221	-233
	Puncture (A/B)	-	-238 (1/10)	-	-
3,250	Flashover	279	-290	278	-285
	Puncture (A/B)	-	-	-	-288 (2/10)
4,000	Flashover	292	-308	291	-304
	Puncture (A/B)	-	-	260 (1/8)	-

4,750	Flashover	304	-322	303	-320
	Puncture (A/B)	-	-268 (1/9)	-	-317 (1/7)
P		2/10		4/10	
%P		20%		40%	

หมายเหตุ A: จำนวนลูกถ่ายที่เจาะทะลุ

B: จำนวนลูกถ่ายทั้งหมดที่ใช้ทดสอบ

3.2 ลูกถ่ายแขวนปอร์ชเลน Class 52-4

จากการทดลองดังตารางที่ 2 พิจารณาการเจาะทะลุลูกถ่าย จะเห็นว่าไม่มีลูกถ่ายเกิดการเจาะทะลุผ่านเนื้อจวนลูกถ่าย ทั้งกรณีที่ไม่ผ่านการทดสอบ Thermal Shock ที่ความชัน 2,500 kV/μs ของการทดสอบด้วยแรงดันอิมพัลส์หน้าคัลลีนชัน และกรณีที่ผ่านการทดสอบ Thermal Shock จำนวน 10 Cycle ที่ความชันทั้ง 4 ความชัน ของการทดสอบด้วยแรงดันอิมพัลส์หน้าคัลลีนชัน จึงได้เพิ่มการทดสอบ Thermal Shock จำนวน 20 Cycle ทั้งกรณีที่ไม่ผ่านและการทดสอบ Thermal Shock จำนวน 10 Cycle หลังจากนั้นนำไปทดสอบการเจาะทะลุผ่านเนื้อจวนลูกถ่ายด้วยแรงดันอิมพัลส์หน้าคัลลีนชันที่ความชันหน้าคัลลีนเริ่มต้นตั้งแต่ 2,500 kV/μs, 3,250 kV/μs, 4,000 kV/μs และ 4,750 kV/μs ตามลำดับ ผลการทดลองแสดงดังตารางที่ 3 จะเห็นว่าการทดสอบลูกถ่ายด้วยแรงดันอิมพัลส์หน้าคัลลีนชัน กรณีผ่านการทดสอบ Thermal Shock ที่จำนวนการรับรองมากกว่าจะมีผลทำให้มีจำนวนลูกถ่ายเกิดเจาะทะลุมากกว่าลูกถ่ายกรณีที่ผ่านการทดสอบ Thermal Shock น้อยกว่า

ตารางที่ 2 แรงดันเฉลี่ยที่เกิดวาบไฟตามผิวและเจาะทะลุผ่านเนื้อจวนลูกถ่าย Class 52-4

Steepness (kV/μs)		Thermal Shock Test			
		Before		After (10 Cycle)	
		Pos (kV)	Neg (kV)	Pos (kV)	Neg (kV)
2,500	Flashover	224	-235	222	-233
	Puncture (A/B)	-	-	-	-

3,250	Flashover	-	-	283	-299
	Puncture (A/B)	-	-	-	-
4,000	Flashover	-	-	306	-324
	Puncture (A/B)	-	-	-	-
4,750	Flashover	-	-	310	-330
	Puncture (A/B)	-	-	-	-
P		0/10		0/10	
%P		0%		0%	

ตารางที่ 3 แรงดันเฉลี่ยที่เกิดความไฟตามผิวและเจาะทะลุผ่านเนื้อนวนลูกถ่าย Class 52-4

Steepness (kV/μs)	Thermal Shock Test				
	After (20 Cycle)		After (30 Cycle)		
	Pos (kV)	Neg (kV)	Pos (kV)	Neg (kV)	
2,500	Flashover	228	-234	238	-265
	Puncture (A/B)	-	-	-	-
3,250	Flashover	278	-295	278	-297
	Puncture (A/B)	-	-	-	-
4,000	Flashover	312	-337	305	-323
	Puncture (A/B)	305 (1/10)	-333 (2/9)	294 (1/10)	-328 (1/9)
4,750	Flashover	327	-344	329	-347
	Puncture (A/B)	-	-	-	-335 (3/10)
P		3/10		5/10	
%P		30%		50%	

หมายเหตุ A: จำนวนลูกถ่ายที่เจาะทะลุ

B: จำนวนลูกถ่ายทั้งหมดที่ใช้ทดสอบ

3.3 ลูกถ่ายแขวนปอร์ชเลน Class 52-8

ผลการทดลองดังตารางที่ 4 ของลูกถ่ายแขวนปอร์ชเลน Class 52-8 เมื่อเทียบกับกรณีของลูกถ่ายแขวนปอร์ชเลน Class 52-4 คือ การทดสอบ Thermal Shock

จำนวน 10 Cycle ยังไม่ส่งผลกระทบต่อการเจาะทะลุลูกถ่ายได้ เมื่อได้รับแรงดันอิมพัลส์หน้าคลื่นชัน จึงได้เพิ่มการทดสอบ Thermal Shock จำนวน 20 Cycle ทั้งกรณีที่ไม่ผ่านและผ่านการทดสอบ Thermal Shock จำนวน 10 Cycle หลังจากนั้นนำไปทดสอบการเจาะทะลุผ่านเนื้อนวนลูกถ่ายด้วยแรงดันอิมพัลส์หน้าคลื่นชันที่ความชันหน้าคลื่นเริ่มต้นตั้งแต่ 2,500 kV/μs, 3,250 kV/μs, 4,000 kV/μs และ 4,750 kV/μs ตามลำดับ จะได้ผลการทดลองดังตารางที่ 5 จะเห็นว่าการทดสอบลูกถ่ายด้วยแรงดันอิมพัลส์หน้าคลื่นชัน ของกรณีผ่านการทดสอบ Thermal Shock ที่จำนวนการวนรอบมากกว่าจะมีผลทำให้มีจำนวนลูกถ่ายเกิดเจาะทะลุมากกว่าลูกถ่ายกรณีที่ผ่านการทดสอบ Thermal Shock น้อยกว่า และสังเกตุเห็นว่าลูกถ่ายแขวน Class 52-8 จะมีความคงทนต่อผลกระทบจากการทดสอบ Thermal Shock เมื่อได้รับแรงดันอิมพัลส์หน้าคลื่นชันมากกว่าลูกถ่ายแขวน Class 52-3 และ Class 52-4

ตารางที่ 4 แรงดันเฉลี่ยที่เกิดความไฟตามผิวและเจาะทะลุผ่านเนื้อนวนลูกถ่าย Class 52-8

Steepness (kV/μs)	Thermal Shock Test				
	Before		After (10 Cycle)		
	Pos(kV)	Neg(kV)	Pos(kV)	Neg(kV)	
2,500	Flashover	224	-235	223	-233
	Puncture (A/B)	-	-	-	-
3,250	Flashover	-	-	290	-306
	Puncture (A/B)	-	-	-	-
4,000	Flashover	-	-	304	-323
	Puncture (A/B)	-	-	-	-
4,750	Flashover	-	-	310	-330
	Puncture (A/B)	-	-	-	-
P		0/10		0/10	
%P		0%		0%	

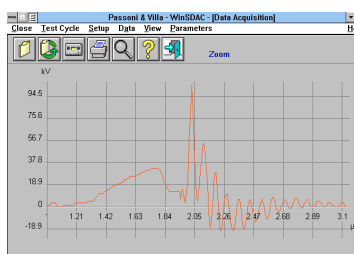
ตารางที่ 5 แรงดันเฉลี่ยที่เกิดવาบไฟตามผิวและเจาะทะลุผ่านเนื้อนวนลูกถ่าย Class 52-8

Steepness (kV/ μ s)		Thermal Shock Test			
		After (20 Cycle)		After (30 Cycle)	
		Pos (kV)	Neg (kV)	Pos(kV)	Neg (kV)
2,500	Flashover	230	-234	239	-266
	Puncture (A/B)	-	-	-	-
3,250	Flashover	292	-298	282	298
	Puncture (A/B)	-	-	-	-305 (1/10)
4,000	Flashover	314	-335	310	-327
	Puncture (A/B)	-	-	-	-328 (1/9)
4,750	Flashover	326	-343	329	-346
	Puncture (A/B)	-	-	-	-
P		0/10		2/10	
%P		0%		20%	

หมายเหตุ A: จำนวนลูกถ่ายที่เจาะทะลุ
B: จำนวนลูกถ่ายทั้งหมดที่ใช้ทดสอบ

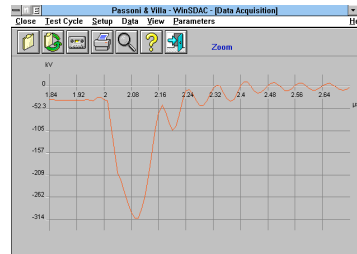


ก) Non-Puncture Voltage

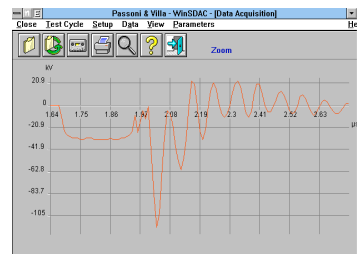


ข) Puncture Voltage

รูปที่ 6 ตัวอย่างรูปคลื่นแรงดันอิมพัลส์หน้าคัลชัน (ข้าบวก)



ก) Non-Puncture Voltage



ข) Puncture Voltage

รูปที่ 7 ตัวอย่างรูปคลื่นแรงดันอิมพัลส์หน้าคัลชัน (ข้าบลบ)

5. สรุปผลการดำเนินงาน

1) ผลการทดสอบลูกถ่ายจำนวนครั้งในการทดสอบ Thermal Shock หลายๆ รอบด้วยชุดอุปกรณ์สีเข้ม อุณหภูมิร้อนและน้ำอุณหภูมิเย็น อ้างอิงตามมาตรฐาน [5] สามารถทำให้เนื้อปุ่นซีเมนต์ที่ใช้เป็นตัวเชื่อมยึดระหว่างเนื้อปอร์ซิเลนกับก้าน (Pin) เกิดรอยร้าวหรือแตกหลุดออกได้ดังรูปที่ 8 และทำให้เนื้อฉนวนลูกถ่ายเสื่อมสภาพลง ส่งผลให้มีโอกาสเกิดการเจาะทะลุผ่านเนื้อฉนวนภายในครอบอิเลคโทรดได้ง่ายขึ้น ดังนั้นการสมมติฐานที่ว่า ผลกระทบจากสภาพอุณหภูมิอากาศเปลี่ยนแปลงตามธรรมชาติ เป็นสาเหตุที่ทำให้ระบบการส่งจ่ายกำลังไฟฟ้าที่ใช้ลูกถ่ายแขวนปอร์ซิเลนเป็นฉนวนเกิดความผิดพร่องได้ง่าย เมื่อได้รับแรงดันอิมพัลส์หน้าคัลชันจากฟ้าผ่าเกิดขึ้นจริง

2) การศึกษาวิจัยและเก็บผลข้อมูลช่วยให้นักศึกษาเกิดทักษะกระบวนการเรียนรู้ สามารถคิดวิเคราะห์ และแก้ไขปัญหาที่เกิดขึ้นจริงในด้านการฉนวนต่างๆ ของระบบส่งจ่ายกำลังไฟฟ้า โดยเฉพาะการฉนวนลูกถ่ายแขวนปอร์ซิเลนการนีการทดสอบการเปลี่ยนแปลงอุณหภูมิโดยจับพลันต่อโอกาสการเจาะทะลุผ่านเนื้อฉนวนลูกถ่ายแขวนปอร์ซิเลน

ทะลุผ่านเนื้อจวนเมื่อได้รับแรงดันอิมพัลส์ฟ้าผ่าหน้าคลื่นชัน เพื่อนำข้อมูลที่ได้ไปใช้ประโยชน์ในการแก้ไขปัญหาผลิตภัณฑ์ของโรงงานและเป็นการพัฒนาเทคโนโลยีขึ้นใช้ในภาคในประเทศ



รูปที่ 8 เปรียบเทียบก่อนและหลังการทดสอบการเปลี่ยนแปลงอุณหภูมิโดยฉับพลัน

กิตติกรรมประกาศ

ขอขอบคุณสำนักงานกองทุนสนับสนุนการวิจัยฝ่ายอุตสาหกรรม ในโครงการโครงการอุตสาหกรรมสำหรับนักศึกษาปริญญาตรี (IPUS) ประจำปี 2546 ที่ให้การสนับสนุนด้านเงินทุนในการศึกษาวิจัยและจัดสร้างอุปกรณ์ประกอบการทดสอบ ขอขอบคุณ บริษัทอาเซียนอินชูเลเตอร์ จำกัด ที่ให้การสนับสนุนการศึกษาวิจัย และสุดท้ายขอขอบพระคุณ อาจารย์ไชยพร หล่อทองคำ อาจารย์ที่ปรึกษาโครงการที่กรุณาให้คำปรึกษาและข้อแนะนำที่ดีตลอดมา จนสามารถทำให้โครงการนี้สำเร็จลุล่วงด้วยดี

เอกสารอ้างอิง

- [1] IEC 383-1, Insulators for overhead lines with a nominal voltage above 1,000 V, Path 1: Ceramic or glass insulators units for a.c. system definitions test methods and acceptance criteria. 1993.
- [2] IEC 1211, Technical Report on Insulators of ceramic Material or Glass for Overhead Lines with a Nominal Voltage Greater than 1,000 V Puncture Testing. 1994.
- [3] สิทธิชาติ แวงสุวรรณ, สราวน์ โชคคำนำย และ พรัตน์ สังข์ศรี, “การศึกษาผลของการเปลี่ยนแปลงอุณหภูมิโดยฉับพลันต่อโอกาสการเจาะทะลุผ่านเนื้อจวนของลูกถ้วยแขวนปอร์ซเลน Class 52-3, 52-4 และ 52-8 เมื่อได้รับแรงดันอิมพัลส์หน้าคลื่นชัน”, ปริญญาโทพัฒนาศรีวาระศาสตรบัณฑิต, ภาควิชาวิศวกรรมไฟฟ้ากำลัง, คณะวิศวกรรมศาสตร์, มหาวิทยาลัยเทคโนโลยีมหานคร, ปีการศึกษา 2546.
- [4] Australian Standard, AS 2947.1 – 1989, “Insulators – Porcelain and glass for overhead power lines voltage greater than 1,000 V-A.C, Part 1 : Test methods”
- [5] มอก. 354-2523, มาตรฐานผลิตภัณฑ์อุตสาหกรรม ลูกถ้วยแขวน ปอร์ซเลน.
- [6] ANSI C29.2, For Insulators Wet-Porcelain and Toughened Glass-Suspension. 1992.